

УДК 677.021.164

**ТЕХНОЛОГИЧЕСКИЕ УСЛОВИЯ  
ОЧИСТКИ ХЛОПКОВОЙ СМЕСИ  
В ТРАНСПОРТНЫХ ВОЗДУХОВОДАХ**

**Ф.Р. КАХРАМАНОВ, В.Д. ФРОЛОВ, Д.Н. САПРЫКИН, С.И. КУРАЧ, Е.Г. ВАВИЛОВ**

**(Ивановская государственная текстильная академия)**

Для очистки хлопковой смеси, как правило, применяются вращающиеся рабочие органы с примыкающими к ним решетками. А транспортные воздуховоды (несмотря на их значительную протяженность) для процесса очистки используются крайне редко.

Простейшим технологическим и конструктивным профилем, вписанным в вертикальный или горизонтальный транспортный воздуховод, может служить воздуховод, последовательно расширяющийся и сужающийся по ходу движения смеси воздуха и волокна (рис.1).

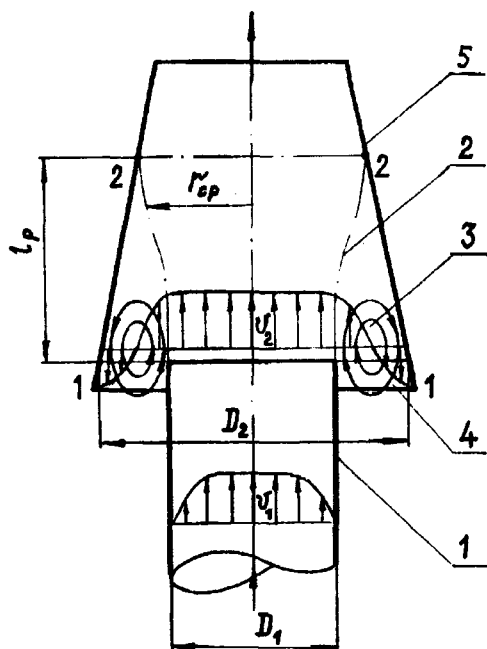


Рис. 1

Наблюдения показывают, что на выходе волокновоздушной струи из транспортной трубы 1 (рис.1, сечение 1-1) образуется отрыв потока 2 от стенок последней, а пространство между струей и стенками заполняется вихрями 3. На некотором расстоянии \$l\_p\$ волокновоздушная струя полностью расширяется и имеет в сечении 2-2 резко неравномерную эпюру скорости, что обусловлено нарушением осесимметричности (искривлением) потока на участке \$l\_p\$. Местное расширение на участке \$l\_p\$ в соответствии с уравнением неразрывности

$$v_2 = \left( \frac{S_1}{S_2} \right) v_1 \quad (1)$$

приводит к уменьшению скорости потока и, как следствие, повышению давления в направлении движения потока. В уравнении (1) \$S\_1\$ и \$S\_2\$ – площади воздуховода в сечениях 1-1 и 2-2 соответственно; \$v\_1\$ и \$v\_2\$ – скорости потока в данных сечениях. Такие потоки приобретают склонность к возникновению отрывов, так как для потока 2, показанного на рис.1, прежде всего имеет силу закона сохранения массы:

$$\rho \int_{(S)} v dS = \text{const.} \quad (2)$$

Если среднюю скорость \$v\_m\$ потока записать в виде выражения

$$v_m = \left( \frac{1}{S} \right) \int_{(S)} v dS,$$

то (2) примет вид

$$Q v_m S = \text{const}, \quad (3)$$

то есть при постоянной плотности  $\rho$  в местах с большей площадью поперечного сечения скорость потока уменьшается. Если учитывать потери  $\Delta p_v$  давления на трение, то в случае реального, обладающего трением потока, по сравнению с потоком, не обладающим вязкостью вдоль линии тока,

$$\xi = p + \frac{\rho v^2}{2} = \text{const},$$

где  $p$  – статическое давление;  $\rho v^2 / 2$  – скоростной напор;  $\xi$  – полное давление, уравнение Бернулли в расширенном потоке можно записать в виде

$$p_1 + \left( \frac{\rho}{2} \right) v_{m1}^2 = p_2 + \left( \frac{\rho}{2} \right) v_{m2}^2 + \Delta p_v. \quad (4)$$

Для более общего случая к обеим частям равенства (4) необходимо добавить компонент, являющийся следствием действия основного закона гидростатики:

$$\begin{aligned} p_1 + \left( \frac{\rho}{2} \right) v_{m1}^2 + \rho \xi h_1 = \\ = p_2 + \left( \frac{\rho}{2} \right) v_{m2}^2 + \rho \xi h_2 + \Delta p_v. \end{aligned} \quad (5)$$

где  $h_1$  и  $h_2$  – геодезические высоты трубок тока в сечениях 1–1 и 2–2.

Тогда согласно (5) и с учетом соотношения (1) максимально возможное повышение давления

$$\Delta p_v = p'_2 - p_2 = \left( \frac{\rho}{2} \right) v_{m1}^2 \left[ 1 - \left( \frac{S_1}{S_2} \right)^2 \right]. \quad (6)$$

Большие потери давления возникают при внезапном расширении потока.

Действительное повышение давления в этом случае

$$p_2 - p = \rho v_{m2} (v_{m1} - v_{m2}), \quad (7)$$

а с учетом (6) запишем

$$\Delta p_v = \left( \frac{\rho}{2} \right) (v_{m1} - v_{m2})^2.$$

Тогда коэффициент потери давления при внезапном расширении поперечного сечения

$$\xi_{vp} = \frac{\Delta p_v}{\left[ \left( \frac{\rho}{2} \right) v_{m1}^2 \right]} = \left[ 1 - \left( \frac{S_1}{S_2} \right)^2 \right]^2. \quad (8)$$

В действительности потеря давления несколько больше, поскольку внезапное расширение имеет выход вне пределов транспортной трубы в кольцевое отверстие 4 между поверхностями транспортной трубы 1 и конфузорной частью трубы 5, кроме того, не учтены трение о стенки и потери, происходящие при генерации и диссипации турбулентности при расширении потока.

Реальное значение коэффициента потери давления

$$\xi_{vp} = \beta \left[ 1 - \left( \frac{S_1}{S_2} \right)^2 \right]^2, \quad (9)$$

где  $\beta =$  до 1,2.

Необходимо отметить, что потери на трение на границах в зоне отрыва при расширении потока действительно малы в сравнении с потерями, происходящими при генерации и диссипации турбулентности в этой зоне. Диссипация энергии в неравномерном потоке является, в первую очередь, результатом генерации турбулентности в зонах отрыва, что особенно усиливает влияние числа Рейнольдса на изменение положения точки отрыва из-за

влияния вязкости. Поэтому очевидно, что потери энергии в неравномерном потоке на единицу веса должны зависеть от геометрии границ и характерного числа Рейнольдса.

Диссипация энергии на единицу веса  $H_{\Pi}$  принимает безразмерный вид при делении на кинетическую энергию, приходящуюся на единицу веса характерного параметра  $v^2 / 2\xi$ . Безразмерный коэффициент потерь напора определяется из равенства [1]:

$$\xi_m = \frac{H_{\Pi}}{v^2 / 2\xi} \quad (10)$$

и является функцией геометрии стенок и числа Рейнольдса. На многих переходных участках, где происходит отрыв, положение точки отрыва определяется в основном очертанием стенок.

Скорость потока, однако, изменяется по сечению и поэтому истинная величина среднего потока количества движения равна

$$\int v Q (v dS) = \alpha_u V (Q v S)$$

или

$$\int v Q dQ = \alpha_u V (Q Q),$$

где  $v=Q/S$  – величина средней скорости по поперечному сечению;  $Q$  – объем волокно-воздушной смеси;  $V$  – вектор средней скорости;  $\alpha_u \geq 1$  – коэффициент количества движения (или импульса).

Тогда уравнение количества движения для одномерного движения запишется в виде

$$F_{dy} + F_{ty} + F_{my} = (\alpha_u v_y Q Q)_2 - (\alpha_u v_y Q Q)_1, \quad (11)$$

где  $F_d$  – результирующая сила, действующая по нормали к контрольной поверхности (может быть определена по нормальным давлениям на контрольной поверхности);  $F_t$  – результирующая сила, действующая тангенциально к контроль-

ной поверхности (может быть определена по тангенциальным (касательным) напряжениям на контрольной поверхности);  $F_m$  – объемная или массовая сила при действии гравитационного или магнитного полей.

Проекция массовой силы равна нулю, касательными напряжениями пренебрегаем ввиду их малости. В этом случае (11) при  $\alpha_u = 1$  принимает вид

$$(p_1 - p_2) S_2 = \rho Q (v_2 - v_1). \quad (12)$$

Диссипация энергии на единицу веса определяется из уравнения энергии

$$H_1 = H_2 + H_{\Pi} + \Delta H_{\Pi}, \quad (13)$$

где  $H_1, H_2$  – осредненные по весовому расходу величины удельной энергии ( $\text{кг} \cdot \text{мкг}$ ), которые можно трактовать так же, как осредненные по весовому расходу величины полного напора (давления) для всех линий тока;  $H_{\Pi}$  – потери механической энергии;  $\Delta H_{\Pi}$  – колебания потерь механической энергии.

При отсутствии механической энергии уравнение (13) запишется как

$$\left( \frac{p_1}{\gamma} + h_1 + \frac{v_1^2}{2\xi} \right) -$$

$$- \left( \frac{p_2}{\gamma} + h_2 + \frac{v_2^2}{2\xi} \right) = H_{\Pi_{1-2}}. \quad (14)$$

Если в выражение (14) подставить (12), то потеря напора (давления) согласно теореме Борда запишется в виде

$$H_{\Pi_{1-2}} = \frac{(v_1 - v_2)^2}{2\xi}. \quad (15)$$

или в безразмерном виде, используя (10) и (1):

$$\frac{H_{\Pi_{1-2}}}{v_1^2/2\xi} = \xi_{\text{в.р}} = \left[ 1 - \left( \frac{D_1}{D_2} \right)^2 \right]^{-2}. \quad (16)$$

Экспериментальные результаты подтверждают формулу с точностью до нескольких процентов. Это означает, что потери на трение на границах в зоне отрыва действительно малы в сравнении с потерями, происходящими при генерации и

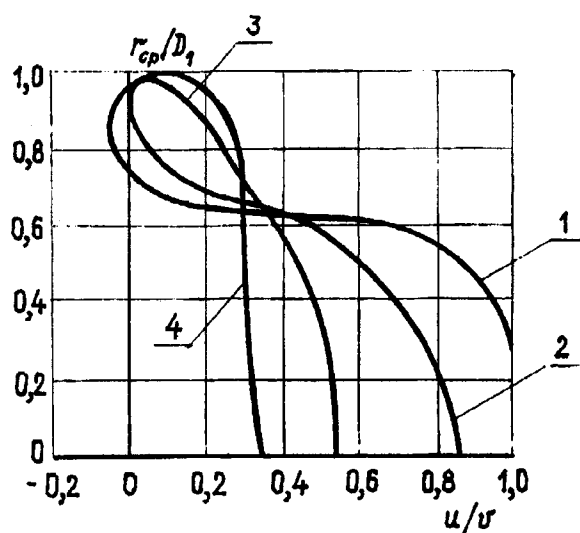


Рис. 2

диссипации турбулентности при расширении.

Если диаметр  $D_2$  конфузорной трубы (в сечении 1–1) значительно больше диаметра  $D_1$  транспортной трубы и соблюдается соотношение перекрытия поверхностей 1 и 5, то часть вихревого потока 3 будет выходить за пределы транспортного потока 2, выделяя сорные примеси в зазор кольцевого отверстия 4 (рис.1).

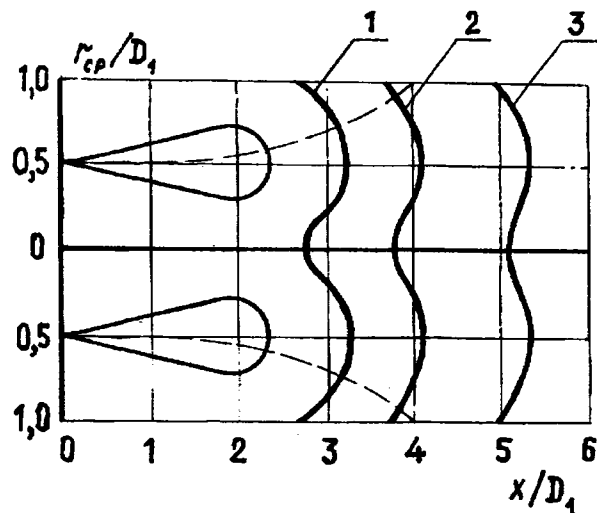


Рис. 3

Экспериментальные профили скорости для различных сечений за внезапным расширением при отношении  $D_1/D_2=1/2$  представлены на рис.2 (кривая 1 – отношение  $x/D_1=1,0$ ; 2 –  $x/D_1=4,0$ ; 3 –  $x/D_1=6,0$ ; 4 –  $x/D_1=8,0$ ).

Профиль границы отрыва, пространственное распределение осредненного давления за расширением и кривые с различными значениями отношения статического давления к скоростному напору ( $P/(qv^2/2)$ ) показаны на рис.3: кривая 1 – отношение равно 0,1; 2 – 0,2; 3 – 0,3. Зона отрыва может распространяться на  $3,5D_1$ , а давление частично приобретает равномерное распределение после точки отрыва и зависит от конусности конфузорной трубы 5.

Таким образом, созданные технологические условия диссипации энергии в не-

равномерном потоке стали результатом генерации турбулентности в зонах отрыва в виде вихревого потока. Полученные теоретические и экспериментальные решения позволяют регулировать выделение сорных примесей за счет сжатия и расширения потока, а следовательно, его деформации с изменением объема, что способствует выравниванию смеси как по объему, так и по весу.

#### ЛИТЕРАТУРА

- Chaturvedi M.C. Flow characteristics of axisymmetric expansions. Proc. Am. Soc. Civil Engrs.– V. 89. NHY-3, May 1963.

Рекомендована кафедрой начертательной геометрии и черчения. Поступила 21.05.01.